



calculatoratoz.com



unitsconverters.com

Arch Dams Formuły

Kalkulatory!

Przykłady!

konwersje!

Zakładka calculatoratoz.com, unitsconverters.com

Najszerzy zasięg kalkulatorów i rośnięcie - **30 000+ kalkulatorów!**

Oblicz z inną jednostką dla każdej zmiennej - **W wbudowanej konwersji jednostek!**

Najszerzy zbiór miar i jednostek - **250+ pomiarów!**

Nie krępuj się UDOSTĘPNIJ ten dokument swoim znajomym!

[Zostaw swoją opinię tutaj...](#)



Lista 45 Arch Dams Formuły

Arch Dams

1) Extradados Naciski na Arch Dam

$$fx \quad S = \left(\frac{F}{t} \right) - \left(6 \cdot \frac{M_t}{t^2} \right)$$

[Otwórz kalkulator !\[\]\(a870788d6ed9b8fd294b7654a8c8526b_img.jpg\)](#)

$$ex \quad -174.125\text{N/m}^2 = \left(\frac{63.55\text{N}}{1.2\text{m}} \right) - \left(6 \cdot \frac{54.5\text{N}^*\text{m}}{(1.2\text{m})^2} \right)$$

2) Kąt między koroną a przyczółkami przyłożony do przyczółków Arch Dam

$$fx \quad \theta = a \cos \left(\frac{P - P_v \cdot r}{-P_v \cdot r + F} \right)$$

[Otwórz kalkulator !\[\]\(c50c8b7b2cc2cf9ff925edec0ee94c0d_img.jpg\)](#)

$$ex \quad 29.95684^\circ = a \cos \left(\frac{16\text{kN/m} - 21.7\text{kPa/m}^2 \cdot 5.5\text{m}}{-21.7\text{kPa/m}^2 \cdot 5.5\text{m} + 63.55\text{N}} \right)$$

3) Naprężenia Intradados na Arch Dam

$$fx \quad S = \left(\frac{F}{t} \right) + \left(6 \cdot \frac{M_t}{t^2} \right)$$

[Otwórz kalkulator !\[\]\(f60b7a900783ac3fd531bfd9c111be6d_img.jpg\)](#)

$$ex \quad 280.0417\text{N/m}^2 = \left(\frac{63.55\text{N}}{1.2\text{m}} \right) + \left(6 \cdot \frac{54.5\text{N}^*\text{m}}{(1.2\text{m})^2} \right)$$




4) Obrót pod wpływem momentu na zaporze Arch Dam 

$$fx \quad \Phi = M_t \cdot \frac{K_1}{E \cdot t \cdot t}$$

Otwórz kalkulator 

$$ex \quad 37.14222\text{rad} = 54.5\text{N} \cdot \text{m} \cdot \frac{10.01}{10.2\text{N}/\text{m}^2 \cdot 1.2\text{m} \cdot 1.2\text{m}}$$

5) Obrót spowodowany ścinaniem na zaporze Arch Dam 

$$fx \quad \Phi = F_s \cdot \frac{K_5}{E \cdot t}$$

Otwórz kalkulator 


$$ex \quad 37.64297\text{rad} = 48.5\text{N} \cdot \frac{9.5}{10.2\text{N}/\text{m}^2 \cdot 1.2\text{m}}$$

6) Obrót z powodu Twista na Arch Dam 

$$fx \quad \Phi = M \cdot \frac{K_4}{E \cdot t^2}$$

Otwórz kalkulator 

$$ex \quad 34.79167\text{rad} = 51\text{N} \cdot \text{m} \cdot \frac{10.02}{10.2\text{N}/\text{m}^2 \cdot (1.2\text{m})^2}$$

7) Promień do linii środkowej przy naporu na przyczółki Arch Dam 

$$fx \quad r = \frac{\frac{P - F \cdot \cos(\theta)}{1 - \cos(\theta)}}{P_v}$$

Otwórz kalkulator 

$$ex \quad 5.484554\text{m} = \frac{\frac{16\text{kN}/\text{m} - 63.55\text{N} \cdot \cos(30^\circ)}{1 - \cos(30^\circ)}}{21.7\text{kPa}/\text{m}^2}$$



8) Siła ścinająca ze względu na obrót spowodowany ścinaniem na zaporze łukowej



$$fx \quad F_s = \Phi \cdot \frac{E \cdot t}{K_5}$$

Otwórz kalkulator

$$ex \quad 45.09474N = 35rad \cdot \frac{10.2N/m^2 \cdot 1.2m}{9.5}$$

9) Siła ścinająca ze względu na ugięcie spowodowane ścinaniem na zaporze łukowej



$$fx \quad F_s = \delta \cdot \frac{E}{K_3}$$

Otwórz kalkulator

$$ex \quad 49.11111N = 48.1m \cdot \frac{10.2N/m^2}{9.99}$$

Stała grubość na zaporze Arch

10) Stała K1, biorąc pod uwagę obrót spowodowany momentem na zaporze łukowej




$$fx \quad K_1 = \frac{\Phi \cdot (E \cdot t \cdot t)}{M_t}$$

Otwórz kalkulator

$$ex \quad 9.432661 = \frac{35rad \cdot (10.2N/m^2 \cdot 1.2m \cdot 1.2m)}{54.5N*m}$$



11) Stała K3, biorąc pod uwagę ugięcie spowodowane ścinaniem na zaporze łukowej 

$$fx \quad K_3 = \delta \cdot \frac{E}{F_s}$$

Otwórz kalkulator 

$$ex \quad 10.11588 = 48.1m \cdot \frac{10.2N/m^2}{48.5N}$$

12) Stała K4, biorąc pod uwagę rotację z powodu Twista na Arch Dam 

$$fx \quad K_4 = (E \cdot t^2) \cdot \frac{\Phi}{M}$$

Otwórz kalkulator 


$$ex \quad 10.08 = \left(10.2N/m^2 \cdot (1.2m)^2\right) \cdot \frac{35rad}{51N^*m}$$

13) Stała K5, biorąc pod uwagę rotację z powodu ścinania na zaporze łukowej 

$$fx \quad K_5 = \Phi \cdot \frac{E \cdot t}{F_s}$$

Otwórz kalkulator 

$$ex \quad 8.83299 = 35rad \cdot \frac{10.2N/m^2 \cdot 1.2m}{48.5N}$$

14) Stała K2 przy odbiciu od pchnięcia na tamę łukową 

$$fx \quad K_2 = \delta \cdot \frac{E}{F}$$

Otwórz kalkulator 

$$ex \quad 7.72022 = 48.1m \cdot \frac{10.2N/m^2}{63.55N}$$



15) Stałe K5, biorąc pod uwagę ugięcie spowodowane momentami na zaporze łukowej

$$fx \quad K_5 = \delta \cdot \frac{E \cdot t}{M_t}$$

[Otwórz kalkulator !\[\]\(d3fb9f94af8b26d1c844efa9a98805b0_img.jpg\)](#)

$$ex \quad 10.80264 = 48.1m \cdot \frac{10.2N/m^2 \cdot 1.2m}{54.5N \cdot m}$$

Ugięcie na zaporach łukowych

16) Ugięcie spowodowane momentami na zaporze łukowej

$$fx \quad \delta = M_t \cdot \frac{K_5}{E \cdot t}$$

[Otwórz kalkulator !\[\]\(73002692dd5e7a64e60946be3158e719_img.jpg\)](#)

$$ex \quad 42.29984m = 54.5N \cdot m \cdot \frac{9.5}{10.2N/m^2 \cdot 1.2m}$$

17) Ugięcie spowodowane pchnięciem na tamę łukową

$$fx \quad \delta = F \cdot \frac{K_2}{E}$$

[Otwórz kalkulator !\[\]\(104fbf564e2e5a8fbd84f31656d114c7_img.jpg\)](#)

$$ex \quad 62.92696m = 63.55N \cdot \frac{10.1}{10.2N/m^2}$$

18) Ugięcie spowodowane ścinaniem na zaporze Arch

$$fx \quad \delta = F_s \cdot \frac{K_3}{E}$$

[Otwórz kalkulator !\[\]\(21226b58c700e5231ab98d27101bac58_img.jpg\)](#)

$$ex \quad 47.50147m = 48.5N \cdot \frac{9.99}{10.2N/m^2}$$



Moduł sprężystości skały

19) Moduł sprężystości skały przy rotacji spowodowanej momentem na zaporze łukowej

$$\text{fx } E = M_t \cdot \frac{K_1}{\Phi \cdot T \cdot t}$$

[Otwórz kalkulator !\[\]\(83f22ed94ec5517769dd76d702c6bfd8_img.jpg\)](#)

$$\text{ex } 10.73485\text{N/m}^2 = 54.5\text{N}\cdot\text{m} \cdot \frac{10.01}{35\text{rad} \cdot 1.21\text{m} \cdot 1.2\text{m}}$$

20) Moduł sprężystości skały przy rotacji spowodowanej ścinaniem na zaporze łukowej

$$\text{fx } E = F_s \cdot \frac{K_5}{\Phi \cdot T}$$

[Otwórz kalkulator !\[\]\(3cb60d42b10e53f9522bb0b392c1c4cd_img.jpg\)](#)

$$\text{ex } 10.87957\text{N/m}^2 = 48.5\text{N} \cdot \frac{9.5}{35\text{rad} \cdot 1.21\text{m}}$$

21) Moduł sprężystości skały przy rotacji spowodowanej skrętem zapory łukowej

$$\text{fx } E = M \cdot \frac{K_4}{\Phi \cdot T^2}$$

[Otwórz kalkulator !\[\]\(0d7ca0919e6c47bbd874bfa0189fe22e_img.jpg\)](#)

$$\text{ex } 9.972387\text{N/m}^2 = 51\text{N}\cdot\text{m} \cdot \frac{10.02}{35\text{rad} \cdot (1.21\text{m})^2}$$



22) Moduł sprężystości skały przy ugięciu pod wpływem nacisku na tamę łukową



$$fx \quad E = F \cdot \frac{K_2}{\delta}$$

Otwórz kalkulator

$$ex \quad 13.34418\text{N/m}^2 = 63.55\text{N} \cdot \frac{10.1}{48.1\text{m}}$$

23) Moduł sprężystości skały przy ugięciu pod wpływem ścinania na zaporze łukowej



$$fx \quad E = F_s \cdot \frac{K_3}{\delta}$$

Otwórz kalkulator

$$ex \quad 10.07308\text{N/m}^2 = 48.5\text{N} \cdot \frac{9.99}{48.1\text{m}}$$

24) Moduł sprężystości skały przy ugięciu spowodowanym momentami na zaporze łukowej



$$fx \quad E = M_t \cdot \frac{K_5}{\delta \cdot T}$$

Otwórz kalkulator

$$ex \quad 8.895895\text{N/m}^2 = 54.5\text{N} \cdot \text{m} \cdot \frac{9.5}{48.1\text{m} \cdot 1.21\text{m}}$$



Momenty działające na Arch Dam

25) Moment na przyczółkach Arch Dam

$$\text{fx } M_t = r \cdot ((p \cdot r) - F) \cdot \left(\frac{\sin(A)}{A} - \cos(A) \right)$$

[Otwórz kalkulator !\[\]\(d66ff64371a51729ac8c1cdaa685ba6f_img.jpg\)](#)

$$\text{ex } 99.7591\text{N}\cdot\text{m} = 5.5\text{m} \cdot ((8 \cdot 5.5\text{m}) - 63.55\text{N}) \cdot \left(\frac{\sin(31\text{rad})}{31\text{rad}} - \cos(31\text{rad}) \right)$$

26) Moment w Koronie Arch Dam

$$\text{fx } M_t = -r \cdot ((p \cdot r) - F) \cdot \left(1 - \left(\frac{\sin(A)}{A} \right) \right)$$

[Otwórz kalkulator !\[\]\(faf942dc3e59ce8eb64b4ac481eca7e0_img.jpg\)](#)

$$\text{ex } 108.9264\text{N}\cdot\text{m} = -5.5\text{m} \cdot ((8 \cdot 5.5\text{m}) - 63.55\text{N}) \cdot \left(1 - \left(\frac{\sin(31\text{rad})}{31\text{rad}} \right) \right)$$

27) Momenty objęte rotacją w wyniku Twist na Arch Dam

$$\text{fx } M = (E \cdot t^2) \cdot \frac{\Phi}{K_4}$$

[Otwórz kalkulator !\[\]\(95b425611cbd2b8716a140cf67c81822_img.jpg\)](#)

$$\text{ex } 51.30539\text{N}\cdot\text{m} = \left(10.2\text{N}/\text{m}^2 \cdot (1.2\text{m})^2 \right) \cdot \frac{35\text{rad}}{10.02}$$

28) Momenty objęte rotacją ze względu na moment na zaporze Arch Dam

$$\text{fx } M_t = \frac{\Phi \cdot (E \cdot t \cdot t)}{K_1}$$

[Otwórz kalkulator !\[\]\(56549452e01ca28bdf2500ced9653143_img.jpg\)](#)

$$\text{ex } 51.35664\text{N}\cdot\text{m} = \frac{35\text{rad} \cdot (10.2\text{N}/\text{m}^2 \cdot 1.2\text{m} \cdot 1.2\text{m})}{10.01}$$




29) Momenty podane Extrados Stres na Arch Dam 

$$fx \quad M_t = \sigma_e \cdot t \cdot t + F \cdot \frac{t}{6}$$

Otwórz kalkulator 


$$ex \quad 48.71N^*m = 25N/m^2 \cdot 1.2m \cdot 1.2m + 63.55N \cdot \frac{1.2m}{6}$$

30) Momenty podane Intrados Stres na Arch Dam 

$$fx \quad M_t = \frac{S \cdot t \cdot t - F \cdot t}{6}$$

Otwórz kalkulator 

$$ex \quad 47.29N^*m = \frac{250N/m^2 \cdot 1.2m \cdot 1.2m - 63.55N \cdot 1.2m}{6}$$

31) Momenty ugięte w wyniku momentów na zaporze łukowej 

$$fx \quad M_t = \delta \cdot \frac{E \cdot t}{K_5}$$

Otwórz kalkulator 

$$ex \quad 61.97305N^*m = 48.1m \cdot \frac{10.2N/m^2 \cdot 1.2m}{9.5}$$



Normalne ciśnienie promieniowe zapór łukowych

32) Normalne ciśnienie promieniowe na linii środkowej podany Moment w koronie zapory łukowej

$$fx \quad P_v = \frac{F_C \cdot r \cdot \left(1 - \left(\frac{\sin(\theta)}{\theta}\right)\right) - (M_t)}{(r^2) \cdot \left(1 - \left(\frac{\sin(\theta)}{\theta}\right)\right)}$$

[Otwórz kalkulator !\[\]\(a03a7eb2f4046e1d3c76772003e549ea_img.jpg\)](#)

$$ex \quad 21.77821 \text{ kPa/m}^2 = \frac{120 \text{ kN} \cdot 5.5 \text{ m} \cdot \left(1 - \left(\frac{\sin(30^\circ)}{30^\circ}\right)\right) - (54.5 \text{ N} \cdot \text{m})}{((5.5 \text{ m})^2) \cdot \left(1 - \left(\frac{\sin(30^\circ)}{30^\circ}\right)\right)}$$

33) Normalne ciśnienie promieniowe na linii środkowej przy danym momencie na przyczółkach zapory łukowej

$$fx \quad P_v = \frac{F_C \cdot r \cdot \left(\left(\frac{\sin(\theta)}{\theta}\right) - \cos(\theta)\right) - (M_t)}{(r^2) \cdot \left(\left(\frac{\sin(\theta)}{\theta}\right) - \cos(\theta)\right)}$$

[Otwórz kalkulator !\[\]\(5361750c22c4e047a52f4eac1ec2d4cc_img.jpg\)](#)

$$ex \quad 21.79792 \text{ kPa/m}^2 = \frac{120 \text{ kN} \cdot 5.5 \text{ m} \cdot \left(\left(\frac{\sin(30^\circ)}{30^\circ}\right) - \cos(30^\circ)\right) - (54.5 \text{ N} \cdot \text{m})}{((5.5 \text{ m})^2) \cdot \left(\left(\frac{\sin(30^\circ)}{30^\circ}\right) - \cos(30^\circ)\right)}$$

34) Normalne ciśnienie promieniowe na linii środkowej przy naporu na przyczółki zapory łukowej

$$fx \quad P_v = \left(\frac{P + F \cdot \cos(\theta)}{r - (r \cdot \cos(\theta))}\right)$$

[Otwórz kalkulator !\[\]\(b792654f2cef9719eabeb6c5be00811e_img.jpg\)](#)

$$ex \quad 21.78844 \text{ kPa/m}^2 = \left(\frac{16 \text{ kN/m} + 63.55 \text{ N} \cdot \cos(30^\circ)}{5.5 \text{ m} - (5.5 \text{ m} \cdot \cos(30^\circ))}\right)$$



35) Normalne ciśnienie promieniowe w linii środkowej przy danym Nacisku w koronie zapory łukowej ↗

$$f_x P_v = \frac{F_C}{(r) \cdot \left(1 - \left(2 \cdot \theta \cdot \frac{\sin\left(\theta \cdot \left(\frac{t}{r}\right)^2\right)}{D} \right) \right)}$$

[Otwórz kalkulator ↗](#)

$$ex \quad 21.82293 \text{ kPa/m}^2 = \frac{120 \text{ kN}}{(5.5 \text{ m}) \cdot \left(1 - \left(2 \cdot 30^\circ \cdot \frac{\sin\left(30^\circ \cdot \left(\frac{1.2 \text{ m}}{5.5 \text{ m}}\right)^2\right)}{9.999 \text{ m}} \right) \right)}$$

Promieniowa grubość elementu ↗

36) Promieniowa grubość elementu przy rotacji spowodowanej momentem na zaporze łukowej ↗

$$f_x t = \left(M_t \cdot \frac{K_1}{E \cdot \Phi} \right)^{0.5}$$

[Otwórz kalkulator ↗](#)

$$ex \quad 1.236178 \text{ m} = \left(54.5 \text{ N} \cdot \text{m} \cdot \frac{10.01}{10.2 \text{ N/m}^2 \cdot 35 \text{ rad}} \right)^{0.5}$$

37) Promieniowa grubość elementu przy rotacji spowodowanej ścinaniem na zaporze łukowej ↗

$$f_x t = F_s \cdot \frac{K_5}{E \cdot \Phi}$$

[Otwórz kalkulator ↗](#)

$$ex \quad 1.290616 \text{ m} = 48.5 \text{ N} \cdot \frac{9.5}{10.2 \text{ N/m}^2 \cdot 35 \text{ rad}}$$



38) Promieniowa grubość elementu przy rotacji spowodowanej skrętem zapory łukowej

$$fx \quad t = \left(M \cdot \frac{K_4}{E \cdot \Phi} \right)^{0.5}$$

[Otwórz kalkulator !\[\]\(e2376d476d06eb31946dc01a69a4403a_img.jpg\)](#)

$$ex \quad 1.196423m = \left(51N \cdot m \cdot \frac{10.02}{10.2N/m^2 \cdot 35rad} \right)^{0.5}$$

39) Promieniowa grubość elementu przy ugięciu spowodowanym momentami na zaporze łukowej

$$fx \quad t = M_t \cdot \frac{K_5}{E \cdot \delta}$$

[Otwórz kalkulator !\[\]\(0b5e7e25e8775f7e7e80906ada4f0021_img.jpg\)](#)

$$ex \quad 1.055297m = 54.5N \cdot m \cdot \frac{9.5}{10.2N/m^2 \cdot 48.1m}$$

Pchnięcie na Arch Dam

40) Nacisk na przyczółki Arch Dam

$$fx \quad P = P_v \cdot r - (P_v \cdot r - F) \cdot \cos(\theta)$$

[Otwórz kalkulator !\[\]\(0fb13ad0bfa3d86868cdd3883e5665b3_img.jpg\)](#)

$$ex \quad 16.0449kN/m = 21.7kPa/m^2 \cdot 5.5m - (21.7kPa/m^2 \cdot 5.5m - 63.55N) \cdot \cos(30^\circ)$$

41) Pchnięcie podane Extrados Stress na Arch Dam

$$fx \quad F = S \cdot T_b + 6 \cdot \frac{M_t}{T_b^2}$$

[Otwórz kalkulator !\[\]\(e50091943b385fe16d3277389202856f_img.jpg\)](#)

$$ex \quad 193.8161N = 250N/m^2 \cdot 1.3m + 6 \cdot \frac{54.5N \cdot m}{(1.3m)^2}$$




42) Pchnięcie podane Intrados Stress na Arch Dam 

$$fx \quad F = S \cdot T_b - 6 \cdot \frac{M_t}{T_b}$$

Otwórz kalkulator 

$$ex \quad 73.46154N = 250N/m^2 \cdot 1.3m - 6 \cdot \frac{54.5N \cdot m}{1.3m}$$

43) Pchnięcie spowodowane ugięciem w wyniku pchnięcia na tamę łukową 

$$fx \quad F = \delta \cdot \frac{E}{K_2}$$

Otwórz kalkulator 

$$ex \quad 48.57624N = 48.1m \cdot \frac{10.2N/m^2}{10.1}$$

44) Pchnięcie w Crown of Arch Dam 

$$fx \quad F = (p \cdot r) \cdot \left(1 - \left(2 \cdot \theta \cdot \frac{\sin \left(\theta \cdot \frac{\left(\frac{T_b}{r} \right)^2}{12} \right)}{D} \right) \right)$$

Otwórz kalkulator 

$$ex \quad 43.98877N = (8 \cdot 5.5m) \cdot \left(1 - \left(2 \cdot 30^\circ \cdot \frac{\sin \left(30^\circ \cdot \frac{\left(\frac{1.3m}{5.5m} \right)^2}{12} \right)}{9.999m} \right) \right)$$



45) Pchnięcie w Crown of Arch Dam z chwilą na przyczółkach [Otwórz kalkulator !\[\]\(feabb98897b440bc8695a03336a6e2df_img.jpg\)](#)

$$\text{fx } F = \frac{M_t}{r \cdot \left(\frac{\sin(\theta)}{\theta - (\cos(\theta))} \right)} + p \cdot r$$

$$\text{ex } 37.21373\text{N} = \frac{54.5\text{N} \cdot \text{m}}{5.5\text{m} \cdot \left(\frac{\sin(30^\circ)}{30^\circ - (\cos(30^\circ))} \right)} + 8 \cdot 5.5\text{m}$$












Używane zmienne

- **A** Kąt między koroną a obfitymi promieniami (*Radian*)
- **D** Średnica (*Metr*)
- **E** Moduł sprężystości skały (*Newton/Metr Kwadratowy*)
- **F** Nacisk przyczółków (*Newton*)
- **F_C** Pchnięcie w Koronę (*Kiloniuton*)
- **F_S** Siła ścinająca (*Newton*)
- **K₁** Stała K1
- **K₂** Stała K2
- **K₃** Stała K3
- **K₄** Stała K4
- **K₅** Stała K5
- **M** Moment skręcający wspornika (*Newtonometr*)
- **M_t** Chwila działająca na Arch Dam (*Newtonometr*)
- **p** Normalne ciśnienie promieniowe
- **P** Pchnięcie z wody (*Kiloniuton na metr*)
- **P_V** Ciśnienie promieniowe (*Kilopaskal / metr kwadratowy*)
- **r** Promień do środkowej linii łuku (*Metr*)
- **S** Stres Intrados (*Newton/Metr Kwadratowy*)
- **t** Pozioma grubość łuku (*Metr*)
- **T** Grubość łuku kołowego (*Metr*)
- **T_b** Grubość podstawy (*Metr*)
- **δ** Odchylenie spowodowane momentami na zaporze Arch Dam (*Metr*)
- **θ** Teta (*Stopień*)
- **σ_e** Extrados Stres (*Newton na metr kwadratowy*)
- **Φ** Kąt obrotu (*Radian*)



Stałe, funkcje, stosowane pomiary

- **Funkcjonować:** **acos**, $\text{acos}(\text{Number})$
Inverse trigonometric cosine function
- **Funkcjonować:** **cos**, $\text{cos}(\text{Angle})$
Trigonometric cosine function
- **Funkcjonować:** **sin**, $\text{sin}(\text{Angle})$
Trigonometric sine function
- **Pomiar:** **Długość** in Metr (m)
Długość Konwersja jednostek 
- **Pomiar:** **Nacisk** in Newton/Metr Kwadratowy (N/m²)
Nacisk Konwersja jednostek 
- **Pomiar:** **Energia** in Newtonometr (N*m)
Energia Konwersja jednostek 
- **Pomiar:** **Zmuszać** in Newton (N), Kiloniuton (kN)
Zmuszać Konwersja jednostek 
- **Pomiar:** **Kąt** in Stopień (°), Radian (rad)
Kąt Konwersja jednostek 
- **Pomiar:** **Napięcie powierzchniowe** in Kiloniuton na metr (kN/m)
Napięcie powierzchniowe Konwersja jednostek 
- **Pomiar:** **Moment obrotowy** in Newtonometr (N*m)
Moment obrotowy Konwersja jednostek 
- **Pomiar:** **Ciśnienie promieniowe** in Kilopaskal / metr kwadratowy (kPa/m²)
Ciśnienie promieniowe Konwersja jednostek 
- **Pomiar:** **Stres** in Newton na metr kwadratowy (N/m²)
Stres Konwersja jednostek 



Sprawdź inne listy formuł

- [Arch Dams Formuły](#) 
- [Zapory Przyporowe Formuły](#) 
- [Zapora ziemna i zapora grawitacyjna Formuły](#) 

Nie krępuj się UDOSTĘPNIJ ten dokument swoim znajomym!

PDF Dostępne w

[English](#) [Spanish](#) [French](#) [German](#) [Russian](#) [Italian](#) [Portuguese](#) [Polish](#) [Dutch](#)

11/29/2023 | 4:56:23 AM UTC

[Zostaw swoją opinię tutaj...](#)

